

УДК 621.373 : 535+535.375 : 546.35

ИССЛЕДОВАНИЕ ИНФРАКРАСНОГО ВКР  
В ПАРАХ РУБИДИЯ ПРИ РАЗЛИЧНОЙ ШИРИНЕ  
СПЕКТРА НАКАЧКИ

Ф. А. Королев, В. А. Михайлов и В. И. Одинцов

Изучена частотная зависимость порога ВКР вблизи инфракрасного перехода Rb  $6^2P_{3/2} - 5^2D_{5/2}$  при вариации ширины линии накачки от 0.2 до 20 см<sup>-1</sup>. Определена величина критической спектральной плотности накачки. Экспериментальные результаты сопоставлены с теоретическими оценками.

В последнее время большой интерес вызывает исследование резонансного вынужденного комбинационного рассеяния света (ВКР) в инфракрасной (ИК) области спектра, возбуждаемого в парах металлов излучением лазеров на красителях с перестраиваемой частотой. Относительно большая спектральная ширина линии генерации этих лазеров может значительно превышать ширину линии перехода сама. Хотя ВКР с широкополосной накачкой в нерезонансном случае в целом уже хорошо изучено [1, 2], при возбуждении вблизи резонанса оно исследовалось лишь в [3]. В настоящей работе действие широкополосной накачки изучено при возбуждении ВКР вблизи ИК перехода Rb,  $6^2P_{3/2} - 5^2D_{5/2}$  ( $\lambda = 5.23$  мкм). Ранее ВКР вблизи указанного перехода исследовалось в условиях, когда ширина линии накачки была сравнима с шириной исходного уровня [4].

Экспериментальная часть

Использовались два лазера на органических красителях с перестройкой частоты, возбуждавшиеся одним импульсом рубинового лазера с модулированной добротностью. Перестройка частоты осуществлялась с помощью дифракционных решеток. Для сужения линии генерации внутрь резонатора лазера на красителе мог помещаться наклонный эталон Фабри-Перо толщиной 1 мм. В этом случае ширина линии генерации составляла  $\sim 0.2$  см<sup>-1</sup>. При удалении эталона она возрастала до 10 см<sup>-1</sup>. Дальнейшее увеличение ширины до 20 см<sup>-1</sup> достигалось внесением в резонатор призмы, которая уменьшала дисперсию, даваемую дифракционной решеткой. Длительность импульсов лазеров на красителях составляла 25 нс. Световые пучки обоих лазеров совмещались в пространстве с помощью полупрозрачного зеркала и после прохождения через телескопическую систему, уменьшившую диаметр пучка, направлялись на кювету с парами рубидия длиной  $l = 18$  см. Диаметр светового пучка в кювете, определявшийся на уровне половины интенсивности, составлял в среднем  $\sim 1.8$  мм. Кювета имела сапфировые окна с вертикальной ориентацией оптической оси, совпадавшей с направлением поляризации излучения обоих лазеров.

В основных экспериментах исходным уровнем для процесса ВКР являлся уровень  $5^2P_{3/2}$  (рис. 1). Для заселения этого уровня частота одного из лазеров (лазер A) —  $\omega_A$  — настраивалась на резонансный переход 1—2,  $\lambda = 780$  нм (здесь и далее используются цифровые обозначения уров-

ней, приведенные на рис. 1). Ширина линии лазера  $A$  и мощность его излучения при падении на кювету составляли  $\Delta\omega_A/2\pi c = 0.2 \text{ см}^{-1}$ ,  $P_A = 200 \text{ кВт}$ . Второй лазер  $B$  осуществлял возбуждение ВКР с уровня 2. Его частота  $\omega_B$  варьировалась в окрестности перехода 2—3 ( $\lambda = 775.8 \text{ нм}$ , частота  $\omega_{32}$ ). Эксперименты проводились при различных значениях ширины линии лазера  $B$   $\Delta\omega_B/2\pi c = 0.2, 10 \text{ и } 20 \text{ см}^{-1}$ .

Исследовалась сильная линия ВКР  $\omega_s$ , возникавшая вблизи перехода 4—3 ( $\lambda = 5.23 \text{ мкм}$ , частота  $\omega_{34}$ ). ИК излучение, выходящее из кюветы в направлении возбуждающего пучка, направлялось на щель ИК монохроматора с линейной дисперсией  $5.6 \text{ см}^{-1}/\text{мм}$ . Для измерения энергии импульсов на выходе монохроматора устанавливалось фотосопротивление.

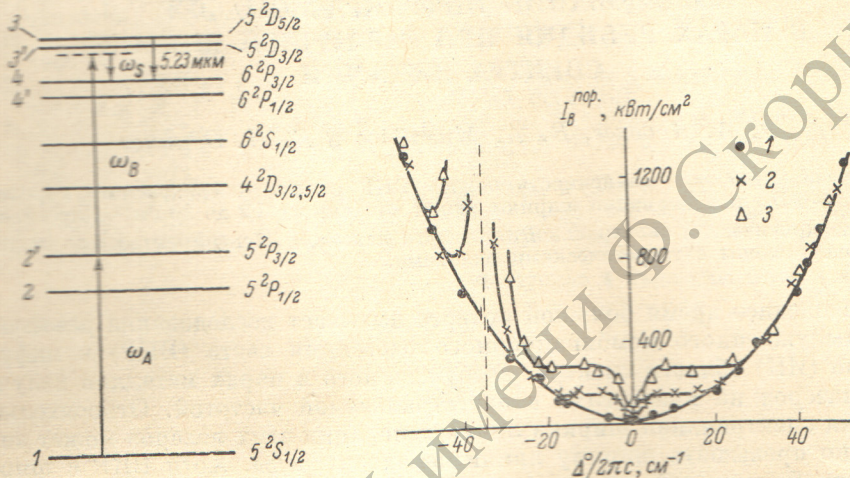


Рис. 1. Схема энергетических уровней Rb.

Слева указаны цифровые обозначения уровней.

Рис. 2. Частотная зависимость порога ВКР при различной ширине спектра накачки.

1 — 0.2, 2 — 10, 3 — 20  $\text{см}^{-1}$ .

ние, сигнал с которого поступал на осциллограф. За экспериментальный порог возбуждения принималось появление сигнала ВКР с энергией на выходе из кюветы  $\sim 10^{-6} \text{ Дж}$ .

На рис. 2 представлена пороговая плотность мощности (интенсивность) излучения возбуждающего лазера  $I_B^{\text{нор}}$  в зависимости от расстройки центральной частоты  $\omega_B^0$  от резонансной частоты  $\omega_{32}$ ,  $\Delta^0 = \omega_B^0 - \omega_{32}$  при различных значениях ширины его спектра. Температура паров Rb равнялась  $250^\circ \text{C}$  (плотность атомов  $N = 5 \cdot 10^{15} \text{ см}^{-3}$ ). Спектральная ширина щели монохроматора составляла  $\sim 4 \text{ см}^{-1}$ . Пороговые кривые в пределах ошибки эксперимента симметричны относительно нулевой расстройки, за исключением области вблизи двухфотонного резонанса для перехода 1—3 (частота  $\omega_{31}$ ), определяемого условием  $2\omega_B^0 = \omega_{31}$  и соответствующего величине расстройки  $\Delta^0 = -35.2 \text{ см}^{-1}$ . Симметрия пороговых кривых хорошо согласуется с отсутствием заметного проявления самофокусировки и самодефокусировки обоих лазеров [4]. Форма пороговой кривой для узкой линии накачки ( $0.2 \text{ см}^{-1}$ ) близка к параболической. При широкой линии накачки ( $10 \text{ и } 20 \text{ см}^{-1}$ ) ход пороговых кривых значительно усложняется. Горизонтальные участки, имеющиеся на этих кривых, показывают, что ВКР здесь возбуждается только при достижении некоторых критических значений интенсивности  $I_B^{\text{кр}}$ , равных соответственно  $140$  и  $270 \text{ кВт/см}^2$  и не зависящих от величины расстройки. Для критической спектральной плотности накачки  $J_B^{\text{кр}} = I_B^{\text{кр}} / \Delta\omega_B = 2\pi c \tilde{J}_B^{\text{кр}}$  эти значения  $I_B^{\text{кр}}$  дают в пределах экспериментальной ошибки одну и ту же величину  $\tilde{J}_B^{\text{кр}} = 14 \text{ кВт/см}$ . В непосредственной близости к резонансу наблюдается значительное уменьшение пороговой интенсивности накачки. Этот результат прямо про-

тивоположен полученному в [3] для ВКР вблизи резонансных переходов Rb. При ширине линии накачки  $0.2 \text{ см}^{-1}$  ширина контура линии ВКР определялась аппаратурной шириной монохроматора, которую можно было уменьшать до  $0.4 \text{ см}^{-1}$ . Собственная ширина линии ВКР, по-видимому, не превышала  $0.1-0.2 \text{ см}^{-1}$ . Под действием мощного излучения лазера A возможен значительный сдвиг и расщепление уровня 2 вследствие динамического эффекта Штарка и как следствие смещение частоты линии ВКР. Для обнаружения этих явлений осуществлялось точное измерение частоты  $\omega_s$  при перестройке  $\omega_A$  в небольших пределах ( $\sim 2 \text{ см}^{-1}$ ) около резонансного перехода 1—2 (при расстройке  $\omega_A$  от частоты перехода 1—2  $\omega_{21}$  заселение уровня 2 осуществляется путем трехфотонного рассеяния с основного уровня, о чем свидетельствует появление линии трехфотонного рассекания). Хотя ошибка измерения положения линии  $\omega_s$  ( $\leq 0.2 \text{ см}^{-1}$ )

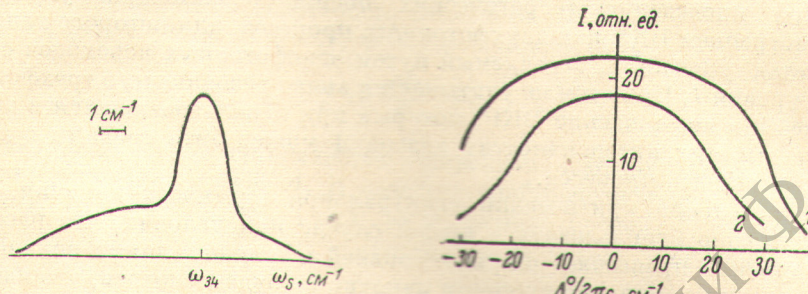


Рис. 3. Контур линии ИК излучения при наложении линии накачки на переход 2—3.

$\Delta^0 = 2 \text{ см}^{-1}$ ,  $\Delta\omega_B/2\pi c = 10 \text{ см}^{-1}$ .  
Спектральная ширина щели  $\sim 1.5 \text{ см}^{-1}$ .

Рис. 4. Зависимость энергии ВКР от расстройки  $\Delta^0$  при ширине линии накачки  $0.2 \text{ см}^{-1}$  (1) и  $10 \text{ см}^{-1}$  (2).  $P_B = 30 \text{ кВт}$ .

была существенно меньше величины ожидаемого смещения, какого-либо сдвига или уширения линии ВКР обнаружено не было. Эти измерения показывают, что эффект Штарка как будто не проявляется в линии ВКР.

При ширине линии лазера B  $10$  и  $20 \text{ см}^{-1}$  ширина линии ВКР была близка к ширине линии накачки. Линия ВКР повторяла вплоть до мелких деталей спектральную структуру накачки. При подходе к резонансу, когда широкая линия накачки накладывалась на атомный перехода 2—3, возникала линия на частоте перехода 4—3  $\omega_{34}$  ( $\lambda=5.23 \text{ мкм}$ ). На фоне широкой линии ВКР она наблюдалась в виде интенсивного узкого максимума (рис. 3). При проходе через резонанс линии накачки шириной  $0.2 \text{ см}^{-1}$  аппаратурная ширина не позволяла выделить пик излучения на частоте  $\omega_{34}$ .

В окрестности двухфотонного резонанса  $2\omega_B \approx \omega_{34}$  порог ВКР резко возрастал (рис. 2). В этой области происходило интенсивное излучение линии  $\omega_{34}$ , обусловленное двухфотонным заселением уровня 3 [5].

При  $\Delta\omega_B/2\pi c = 10 \text{ см}^{-1}$  ее порог возбуждения составлял  $I_B^{\text{пор.}} \sim 100 \text{ кВт/см}^2$ . Повышение порога ВКР при подходе к двухфотонному резонансу, очевидно, связано с заселением конечного уровня 4, происходящим при излучении этой линии.

При повышении  $J_B^{\text{кр.}}$  энергия импульсов ВКР  $W_s$  при ширине линии накачки  $10$  и  $20 \text{ см}^{-1}$  была лишь немного меньше, чем при ширине  $0.2 \text{ см}^{-1}$ . При мощности лазера B  $P_B = 20-100 \text{ кВт}$  и не слишком больших расстройках  $\Delta^0$  она слабо зависела от расстройки (рис. 4). При плотности атомов  $N = 5 \cdot 10^{15} \text{ см}^{-3}$  и  $P_B = 100 \text{ кВт}$  энергия импульса ВКР составляла  $W_s \sim 10^{-4} \text{ Дж}$ .

Как и в [7, 6, 4], наблюдалось интенсивное фиолетовое излучение вблизи перехода 1—4 ( $\lambda=420.2 \text{ нм}$ ). Это излучение (частота  $\omega_d$ ) обусловлено четырехфотонным параметрическим процессом

$$\hbar\omega_A + \hbar\omega_B \rightarrow \hbar\omega_s + \hbar\omega_d, \quad (1)$$

возникающим вследствие наличия в среде мощного излучения на частотах  $\omega_A$ ,  $\omega_B$  и  $\omega_S$ .

Частотная зависимость порога ВКР была исследована также в случае, когда исходным уровнем являлся уровень  $2'$ . Для его заселения частота лазера  $A$  настраивалась на резонансный переход  $1-2'$  ( $\lambda=794.8$  нм). Ширина линии лазера  $A$  по-прежнему составляла  $0.2 \text{ см}^{-1}$ . Ширина линии возбуждающего лазера  $B$  равнялась  $7 \text{ см}^{-1}$ . При вариации его частоты в окрестности перехода  $2'-3'$  наблюдалось интенсивное излучение ВКР вблизи перехода  $4'-3'$  ( $\lambda=5.04$  мкм). Вид пороговой кривой был аналогичен приведенному на рис. 2 для широкой линии накачки.

### Обсуждение

При проведении теоретических оценок ограничимся упрощенным рассмотрением ВКР как двухфотонного процесса, для которого начальным является уровень  $2$ , заселяемый путем однофотонных переходов с основного уровня  $1$ . При этом не учитывается вклад резонансного трехфотонного процесса в возбуждение ВКР, который при использовавшихся в эксперименте высоких интенсивностях лазера  $A$  может быть сравним с вкладом двухфотонного процесса.

Определение критической спектральной плотности накачки, данное в [2], можно использовать в нашем случае при условии, что расстройка существенно превышает ширину уровней и ширину линии накачки  $\Delta\omega_B$ . При расчете групповой скорости накачки из будем считать, что изменение коэффициента преломления с частотой  $\omega_B$  определяется только переходом  $2-3$ . С длинноволновой стороны от резонанса это справедливо при не слишком больших расстройках, когда вклад перехода  $1-2$  еще мал. Вкладом перехода  $2-3'$  ввиду малой величины матричного элемента<sup>1</sup> можно пренебречь. Изменение коэффициента преломления с частотой  $\omega_S$ , определяющее групповую скорость стоксова излучения  $u_S$ , может быть обусловлено переходами  $4-3$  и  $4'-3'$  (переход  $4-3'$  ввиду малого матричного элемента можно не учитывать). Вблизи порога возбуждения можно пренебречь заселением уровня  $4$  в процессе ВКР, поскольку экспериментальный порог регистрации стоксова излучения достаточно мал. Заселение уровней  $3$ ,  $3'$  не может внести существенный вклад в коэффициент преломления, поскольку при вынужденных переходах на уровнях  $4$ ,  $4'$  инверсная разность населенностей удерживается на очень низком уровне [5]. Это позволяет пренебречь вкладом указанных переходов в коэффициент преломления и, учитывая малость нерезонансной части линейной восприимчивости, положить  $u_S=c$ . Тогда величина  $v' = |c/u_B - c/u_B|$ , характеризующая расстройку групповых скоростей накачки и ВКР, равна

$$v' = \frac{c}{u_B} - 1 = \frac{2\pi\omega_{32}u_{32}^2}{\hbar\Delta^2} (N_2 - N_3). \quad (2)$$

Здесь и далее  $N_\alpha$  — концентрация атомов на уровне  $\alpha$ ,  $u_{ij}$  — матричные элементы дипольного момента для  $\pi$ -переходов между подуровнями  $M=\pm 1/2$  уровней  $i$  и  $j$  (ось квантования  $Z$  выбрана вдоль направления поляризации излучения лазеров  $A$  и  $B$ ).

Известно [1, 2], что коэффициент усиления ВКР в поле широкополосной накачки близок к коэффициенту усиления при монохроматической накачке той же интенсивности в двух случаях: 1) при малом влиянии дисперсии среды и 2) при превышении критической спектральной плотности накачки.

Влияние дисперсии среды мало, если расстройка волновых векторов фононных волн  $\Delta q = \Delta\omega_B v'/c$  меньше обратной длины среды

$$\Delta q L \frac{\pi}{2t}. \quad (3)$$

<sup>1</sup> Матричные элементы вычислялись на основании данных работы [8].

Учитывая, что вблизи резонанса  $I_B^{\text{пор.}}$  мала, можно положить в (2)  $N_3=0$ ,  $N_2=N/2=2.5 \cdot 10^{15} \text{ см}^{-3}$ . Тогда неравенство (3) выполняется при ширине спектра накачки 0.2; 10 и 20  $\text{см}^{-1}$  для расстроек, превышающих соответственно 5, 35 и 50  $\text{см}^{-1}$ . Как видно из рис. 2, горизонтальные участки пороговых кривых для  $\Delta\omega_B/2\pi c=10$  и 20  $\text{см}^{-1}$  лежат в области меньших расстроек, где дисперсия среды существенна.

Критическая спектральная плотность накачки, согласно [2], равна  $J_B^{\text{кр.}}=4y'/b$ , где  $b$  — коэффициент усиления на центральной частоте стоковой линии, рассчитанный на единичную интенсивность монохроматической накачки. Он определяется выражением

$$b = \frac{8\pi^3 \omega_S^3 U_{23}^2 U_{34}^2}{c^3 h^3 \Delta\Omega \Delta^0} (N_2 - N_4), \quad (4)$$

где  $\Delta\Omega$  — ширина линии спонтанного рассеяния.

Из (2), (4), учитывая, что  $N_4 \approx N_3$ , можно получить

$$J_B^{\text{кр.}} = \frac{c^2 h \omega_{34} \Delta\Omega}{\pi^2 \omega_S^2 U_{34}^2}. \quad (5)$$

В нашем случае  $\Delta\Omega$  определяется уширением исходного уровня 2 в поле мощного излучения лазера A. В качестве приближенной оценки положим  $\Delta\Omega \sim \Delta\omega_A$ . Эта оценка без учета расщепления уровня 2 соответствует результатам [9]. Тогда  $J_B^{\text{кр.}} = 6.9 \text{ кВт/см}$ , что в 2 раза ниже экспериментального значения.

Теоретическая оценка  $J_B^{\text{кр.}}$  заведомо справедлива, лишь если  $|\Delta^0|$  существенно больше  $\Delta\omega_B$ . Однако эксперимент показывает, что понятие критической спектральной плотности сохраняет свое значение и в непосредственной близости к резонансу вплоть до наложения кривой линии накачки на атомный переход. При этом  $J_B^{\text{кр.}}$  остается не зависящей от  $\Delta^0$ .

При больших расстройках, когда  $I_B^{\text{пор.}} > I_B^{\text{кр.}}$ , экспериментальные точки хорошо ложатся на общую параболу. По ней, принимая в соответствии с условиями эксперимента коэффициент усиления на проход кюветы  $bI_B l = 25$ , находим, что экспериментальное значение  $b$  при превышении  $I_B^{\text{кр.}}$  составляет  $3.2 \text{ кВт}^{-1} \cdot \text{см}^{-1} (2\pi c/\Delta^0)^2$ . Теоретическое значение  $b$  при монохроматической накачке, определенное из (4) при  $\Delta\Omega = 0.2 \text{ см}^{-1} \cdot 2\pi c$ ,  $N_2 = 2.5 \cdot 10^{15} \text{ см}^{-3}$ ,  $N_4 = 0$ , равно  $0.9 \text{ кВт}^{-1} \cdot \text{см}^{-1} (2\pi c/\Delta^0)^2$ .

При  $I_B < I_B^{\text{кр.}}$  коэффициент усиления не отличается сильно от рассчитанного без учета параметрического взаимодействия спектральных компонент накачки и ВКР,<sup>2</sup> который вдали от резонанса в  $\Delta\omega_B/\Delta\Omega$  раз меньше коэффициента усиления при монохроматической накачке. Однако рост коэффициента усиления при приближении к резонансу приводит к тому, что при достаточно малых  $|\Delta^0|$  возбуждение ВКР становится возможным и при  $I_B < I_B^{\text{кр.}}$ . Границные расстройки  $\Delta_1^0$  и  $\Delta_2^0$ , определяющие горизонтальный участок пороговой кривой, должны быть связаны соотношением

$$\frac{\Delta_1^0}{\Delta_2^0} \sim \sqrt{\frac{\Delta\Omega}{\Delta\omega_B}}, \quad (6)$$

справедливым, если сигнал ВКР регистрируется вблизи частоты  $\omega_S^0 = \omega_B^0 - \omega_{34}$  при спектральной ширине щели, значительно меньшей  $2|\Delta_1^0|$ . Предполагается, что спектральные компоненты накачки, расположенные ближе к резонансу и, в частности, накладывающиеся на атомный переход, ввиду истощения мощности не способны вызвать значительного изменения населенности уровней. В нашем случае (6) удовлетворительно выполняется, несмотря на относительно большую аппаратурную ширину. Ход пороговой кривой при  $|\Delta^0| < |\Delta_1^0|$  достаточно хорошо объясняется исто-

<sup>2</sup> Соответствующие выражения приведены в [4]. При записи формул (4), (5) в [4] пропущен множитель  $2\pi$ , численный же расчет сделан правильно.

щением накачки. Отметим, что наблюдавшийся в [3] рост порога при малых расстройках можно связать с заселением конечного уровня излучения возбуждающего лазера.

Величина энергии ВКР  $W_s$ , как и слабая зависимость ее от  $\Delta^0$ , хорошо согласуется с представлением, что  $W_s$  при достаточно больших  $I_B$  ограничивается заселением конечного уровня 4 [4]. Вследствие развития вынужденных ИК переходов [4-6] заселение уровня 4 сопровождается заселением нижерасположенных уровней  $6^2S_{1/2}$ ,  $4^2D_{3/2, 5/2}$ ,  $5^2P_{1/2}$  и двух незаселенных подуровней  $M = \pm 3/2$  уровня  $5^2P_{3/2}$ . Поскольку инверсная разность населенностей, требующаяся для развития вынужденных ИК переходов, очень мала [5], то при  $I_B \gg I_B^{ep}$  большая часть атомов в объеме взаимодействия с накачкой  $V$  к концу импульса ВКР будет находиться на указанных уровнях. Число испущенных квантов ВКР составит  $\sim NV$ , что при  $N = 5 \cdot 10^{15} \text{ см}^{-3}$ ,  $V \sim 0.5 \text{ см}^3$  даст  $W_s \sim 10^{-4} \text{ Дж}$ . Опустошение рассмотренного комплекса уровней путем спонтанных переходов не способно существенно увеличить  $W_s$ , поскольку вероятность спонтанного распада для большинства этих уровней мала по сравнению с длительностью возбуждающего импульса. К тому же очень велико влияние реабсорбции излучения на резонансных переходах атома. Отметим, что наличие четырехфотонного параметрического процесса (1) должно приводить к увеличению интенсивности ВКР.

#### Литература

- [1] С. А. Ахманов. Изв. вузов, радиофизика, 17, 541, 1974.
- [2] С. А. Ахманов, Ю. Е. Дьяков, А. С. Чиркин. Письма ЖЭТФ, 13, 724, 1971.
- [3] В. А. Михайлов, В. И. Одинцов, Л. Ф. Рогачева. Письма ЖЭТФ, 25, 151, 1977.
- [4] Ф. А. Королев, В. И. Одинцов, А. О. Фахми. Опт. и спектр., 40, 423, 1976.
- [5] Ф. А. Королев, В. В. Мартынов, В. И. Одинцов, А. О. Фахми. Опт. и спектр., 40, 1043, 1976.
- [6] А. М. Бонч-Бруевич, В. А. Ходовой, В. В. Хромов. Письма ЖЭТФ, 14, 487, 1971.
- [7] Ф. А. Королев, С. А. Бахрамов, В. И. Одинцов. Опт. и спектр., 30, 788, 1971.
- [8] Э. М. Андерсон, В. А. Зилитис. Опт. и спектр., 16, 382, 1964.
- [9] П. А. Апанасевич, В. А. Ходовой. Ж. прикл. спектр., 12, 848, 1970.

Поступило в Редакцию 15 августа 1977 г.